

相對論的動量：

$$p_x = \frac{mu_x}{\sqrt{\left(1 - \frac{u^2}{c^2}\right)}} = \gamma mu_x$$

$u \ll c$  時,  $\gamma \rightarrow 1$ , 因此  $p_x \rightarrow mu_x$  接近牛頓的定義

相對論的能量：

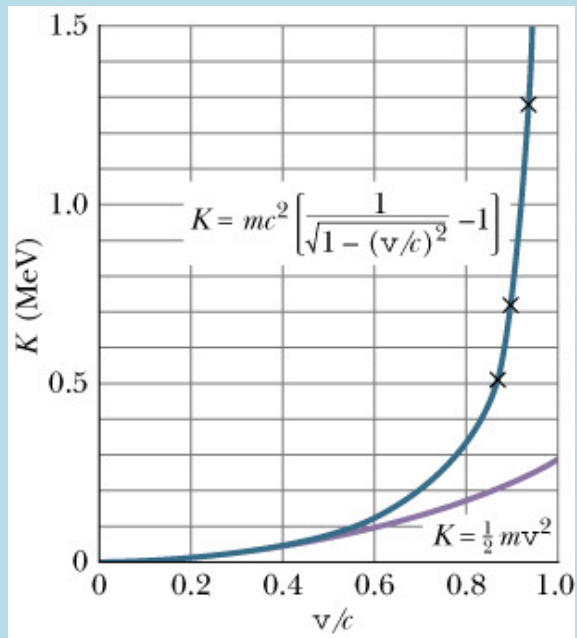
$$E = \frac{mc^2}{\sqrt{1 - \left(\frac{u}{c}\right)^2}} = \gamma mc^2$$

當  $u \ll c$

$$E = \frac{mc^2}{\sqrt{1 - \left(\frac{u}{c}\right)^2}} = mc^2 \left(1 - \frac{u^2}{c^2}\right)^{-\frac{1}{2}} \sim mc^2 \left[1 - \left(-\frac{1}{2}\right)\frac{u^2}{c^2}\right] = mc^2 + \frac{m}{2} u^2$$

靜止能量      動能

動能的牛頓定義  $\frac{1}{2}mv^2$  是不正確的！



相對論修改了能量的形式，

$$E = \frac{mc^2}{\sqrt{1 - \left(\frac{v}{c}\right)^2}}$$

如此定義的動能才滿足動能守恆定律

(牛頓定義下的動能  $\frac{1}{2}mv^2$  在高速時即不守恆)

但在速度遠小於光速時，相對論的動能會趨近牛頓力學中的動能  $\frac{1}{2}mv^2$ 。

當速度等於光速  $v = c$  時，物體的能量是無限大，因此我們無法將物體的速度加大超過光速。

當物體靜止時，它的質量對應一個不為零的能量

$$E = mc^2$$

$$E = \frac{mc^2}{\sqrt{1 - \left(\frac{v}{c}\right)^2}} \quad \longrightarrow \quad E = mc^2$$

靜止的物體因為其質量，能量亦不為零

這個公式暗示了能量與質量可以彼此互相轉換。

$$E = mc^2 + K$$

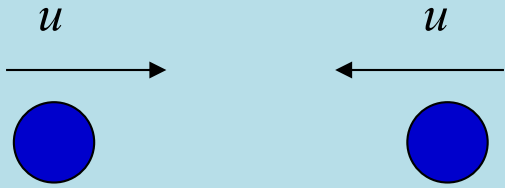


質量的減少可能變為動能的增加！

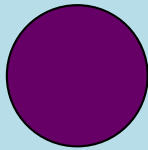
質量是能量的一種形式，能量守恆蘊含質量可以轉換為其他形式的能量，

其他形式的能量亦可轉換為質量，質量不再守恆。 **Mass is not conserved.**

完全非彈性碰撞的質量就不守恆！



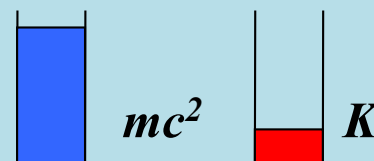
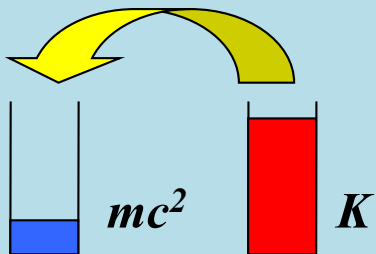
$$p_{i \text{ total}}^0 = \frac{2mc}{\sqrt{1 - \left(\frac{u}{c}\right)^2}}$$



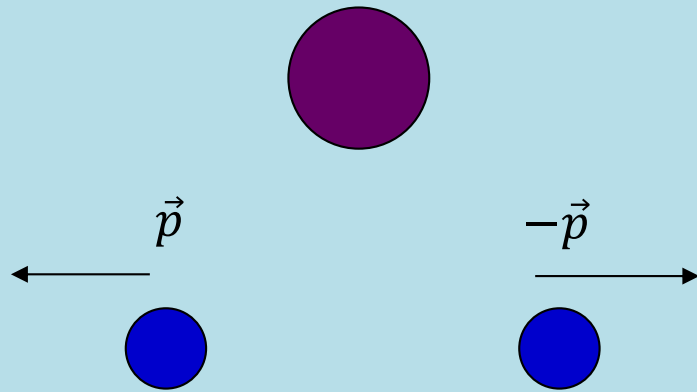
$$p_{f \text{ total}}^0 = \frac{E}{c} = Mc$$

$$M = \frac{2m}{\sqrt{1 - \left(\frac{u}{c}\right)^2}} \neq 2m$$

質量不守恆，入射粒子的動能轉換成質量。



產物相同時的二體衰變  $A \rightarrow B + B$ ，選擇  $A$  靜止座標系，這就是  $B + B$  的質心坐標系。



$$\vec{p}_{i \text{ total}} = \vec{p}_{f \text{ total}} = 0$$

$$p_{i \text{ total}}^0 = Mc$$

$$p_{f \text{ total}}^0 = 2 \frac{E_f}{c} = \frac{2mc}{\sqrt{1 - \frac{u^2}{c^2}}}$$

由能量守恆可以得出產物粒子的能量

$$2E_f = Mc^2$$

產物粒子的能量與動量大小都是固定的值，可以計算出來！

$$E_f = \frac{1}{2} Mc^2$$

$$\frac{E^2}{c^2} - |\vec{p}|^2 = m^2 c^2$$

$$|\vec{p}|^2 = \frac{M^2 c^2}{4} - m^2 c^2$$

$$M = \frac{2m}{\sqrt{1 - \frac{u^2}{c^2}}}$$

$M > 2m$  衰變產物的總質量必須小於衰變粒子的質量！

4 momentum  $p^\mu$  的長度  $p^2$  是甚麼呢？

$$p^\mu = (p^0, p^1, p^2, p^3) = \left( \frac{E}{c}, p^x, p^y, p^z \right)$$

$$p^2 = \left( \frac{E}{c} \right)^2 - p_x^2 = \left( \frac{mc}{\sqrt{1 - \left( \frac{u}{c} \right)^2}} \right)^2 - \left( \frac{mu}{\sqrt{1 - \left( \frac{u}{c} \right)^2}} \right)^2 = \frac{m(c^2 - u^2)}{1 - \left( \frac{u}{c} \right)^2} = m^2 c^2$$

$$p^2 = m^2 \left[ \left( \frac{cdt}{d\tau} \right)^2 - \left( \frac{dx}{d\tau} \right)^2 \right] = m^2 c^2$$

$$c^2 d\tau^2 = c^2 dt^2 - dx^2$$

$$p^2 = p_\mu p^\mu = \frac{E^2}{c^2} - |\vec{p}|^2 = m^2 c^2$$

$$p^2 = m^2 c^2$$

質量是一個粒子四維動量的長度，是一個羅倫茲不變量。

因此質量是粒子的最重要的特徵！

Mass is the invariant of 4-momentum as 4-vector.

每一個基本粒子的 4 momentum 都必須滿足以下的 on-shell 條件

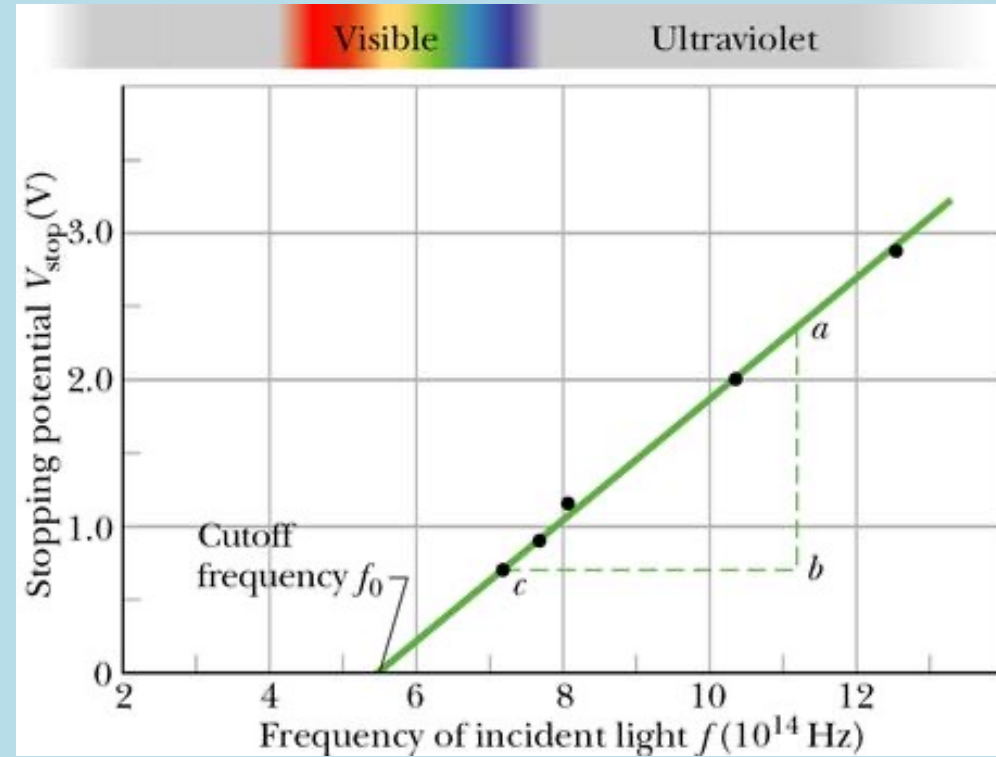
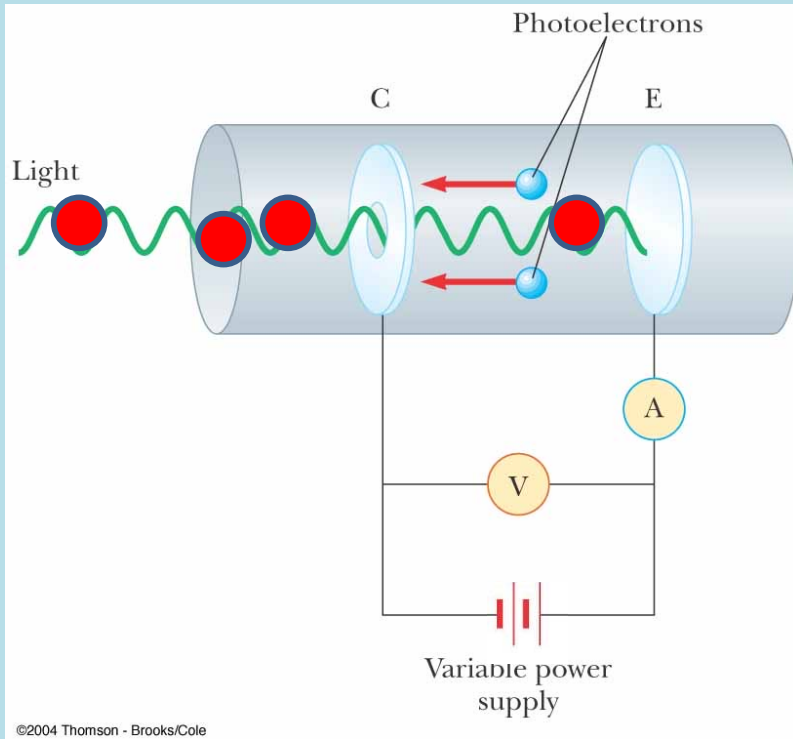
$$p^2 = \frac{E^2}{c^2} - |\vec{p}|^2 = m^2 c^2$$

$$E = c\sqrt{|\vec{p}|^2 + m^2 c^2}$$

能量與3維動量大小並非獨立的變數。

動量越大，能量就越大。The larger the 3-momentum, the larger the energy.

將截止電壓  $V_{\text{stop}}$  對光的頻率作圖，呈線性關係！  $eV_{\text{stop}}$  即是一個光電子的最大動能。



$$eV_{\text{stop}} = E_e = hf - W$$

光交給電子的能量是一個固定不可分割的值，稱為光量子

$$E = hf$$

$W$ 是光電子離開電極所需克服的最小位能：Work Function。

$$W = hf_0$$

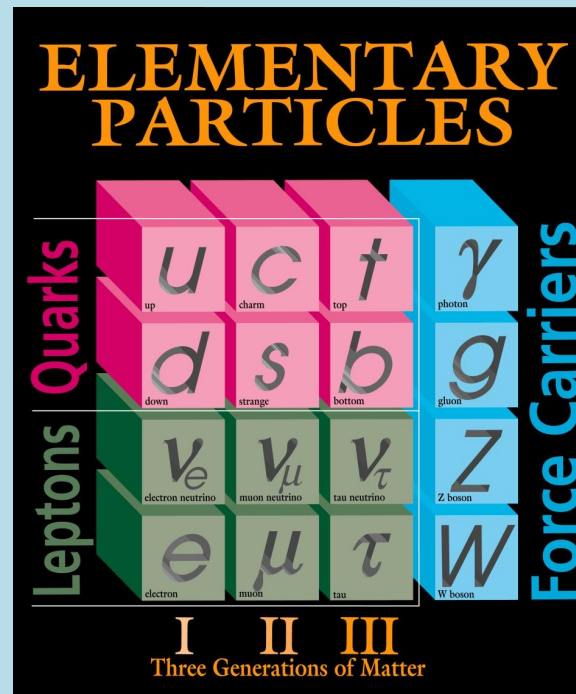
一個光量子的能量由頻率決定，因此光量子能量低於 $W$ 即無法打出電子。

直線的斜率即是 Planck常數 $h$ 。這是最容易測蒲朗克常數的辦法。





光子 Photon  $\gamma$



$$E = hf$$

$$p = \frac{h}{\lambda}$$

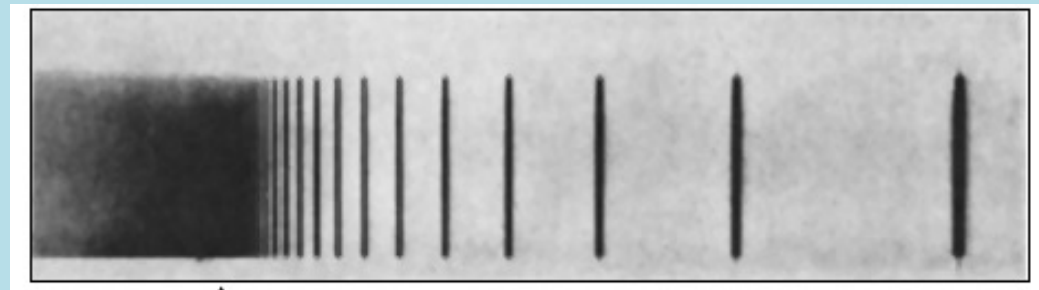
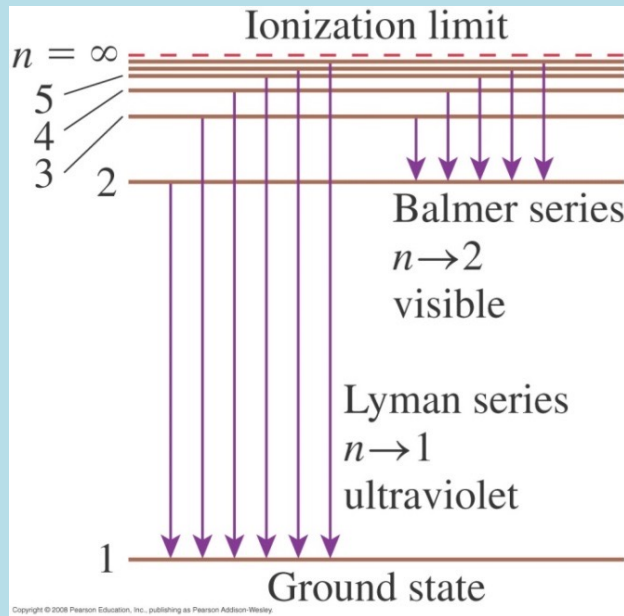
$$h = 6.626 \times 10^{-34} \text{ J} \cdot \text{s} = 4.136 \times 10^{-15} \text{ eV} \cdot \text{s}$$

## 波爾原子模型的基本假設

原子中電子的狀態是一系列**分離的穩定態** **Stationary States**。

穩定態的能量 $E_n$ ，以一個自然數 $n$ 標定， $n$ 稱為量子數！

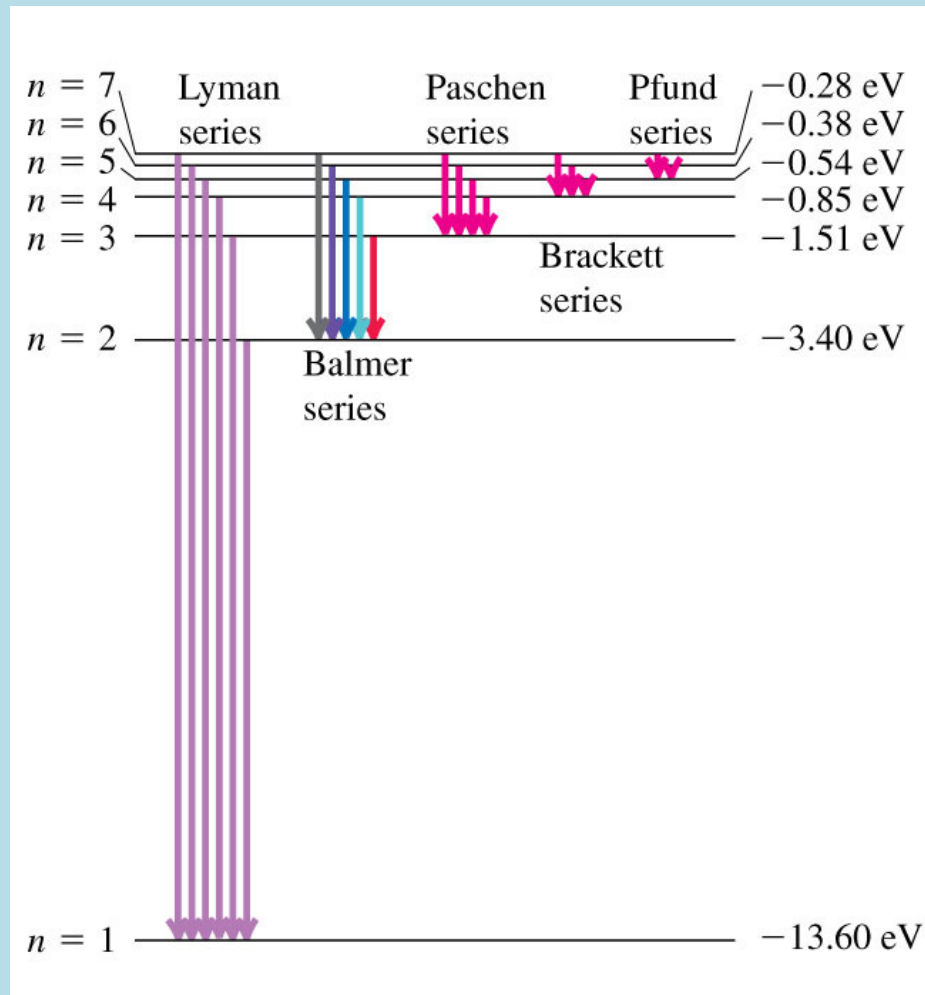
$$E_n \propto -\frac{1}{n^2}$$



電子在能態間**躍遷**，同時放出或吸收**一個光子**，光子的能量即能態的能量差：

因為穩定態是離散分布，所以發出的光子頻率不是連續的：

$$hf \sim \left( \frac{1}{m^2} - \frac{1}{n^2} \right)$$



由光譜波長， $\frac{1}{\lambda} = R_H \left( \frac{1}{m^2} - \frac{1}{n^2} \right)$

即可得出能態的能量：

$$hf = \Delta E = hcR_H \left( \frac{1}{m^2} - \frac{1}{n^2} \right)$$

$$= (-13.6\text{eV}) \left( \frac{1}{n^2} - \frac{1}{m^2} \right)$$

$n, m$ 分別標定跳躍前後的穩定態，  
波爾得到了能階的具體公式：

$$E_n = (-13.6\text{eV}) \left( \frac{1}{n^2} \right)$$

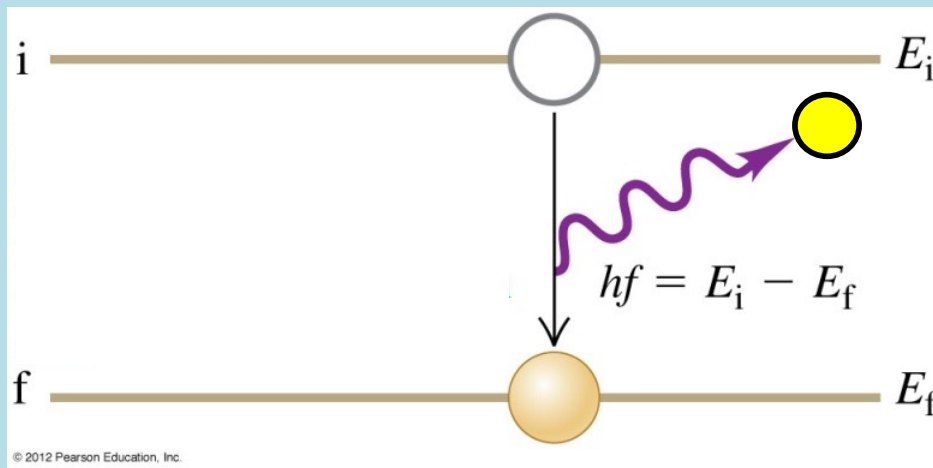
存在一能量最低、穩定的能態， $n = 1$ ，稱基態。其餘的態稱激發態。

處於基態的電子，沒有更低的能態了，因此完全無法再放出光子。

這是古典物理不會出現的，也是原子之所以會穩定的原因！

光是在電子從一個能量狀態直接跳到另一個態的時候發出！

能態不是連續分布，因此稱為跳。量子躍遷！ Quantum Jump。



$$E_i \propto -\frac{R_H}{n^2}$$

$$hf \propto \frac{1}{\lambda} = R_H \left( \frac{1}{m^2} - \frac{1}{n^2} \right)$$

$$E_f \propto -\frac{R_H}{m^2}$$

在原子中，電子的狀態是分立而不連續的 (Discrete)，

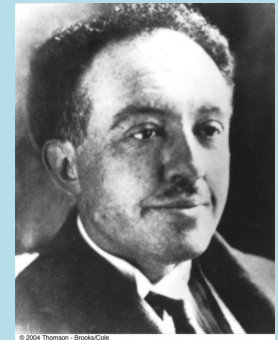
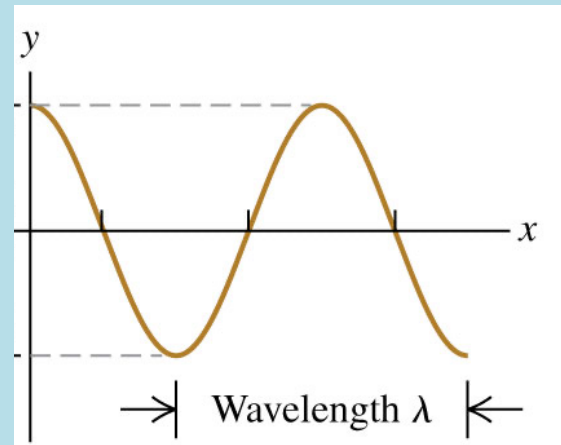
躍遷前後狀態間能量差以一個光子的形式釋放。

光子是不能分割的！因此，躍遷的時候不經過中間連續的變化！

找尋波方程式時可以用的線索：

德布羅意的猜想：一個不受力、動量固定的自由粒子對應於波長固定的正弦波。

牛頓第一運動定律！



波函數

粒子與波的翻譯表

$$\Psi = A[\cos(kx - \omega t)]$$

$$\frac{p^2}{2m} = E$$

$$E = hf$$

$$E = \hbar\omega$$

$$p = \frac{h}{\lambda}$$

$$p = \hbar k$$



$$\frac{\hbar^2}{2m} k^2 = \hbar\omega$$

尋找一個波方程式可以得到這個關係。

現在把同樣辦法用在電子波：

對電子波而言，色散關係如下：

對於自由電子，已知：

$$\frac{p^2}{2m} = E$$

$E = \hbar\omega$   
 $p = \hbar k$

$$\frac{\hbar^2}{2m} k^2 = \hbar\omega$$

如果模仿前述的波方程式，在色散關係乘一個自由電子波函數： $\Psi = Ae^{i(kx-\omega t)}$

$$\frac{\hbar^2}{2m} k^2 \Psi = \hbar\omega \Psi$$

已知，對這一個波函數取時空微分就分別得到 $k, \omega$ ：

$$\frac{\partial^n \Psi}{\partial x^n} = (ik)^n \cdot \Psi$$

$$\frac{\partial^n \Psi}{\partial t^n} = (-i\omega)^n \cdot \Psi$$

由色散關係，自然猜出可以得出此關係的波方程式如下：

$$-\frac{\hbar^2}{2m} \frac{\partial^2 \Psi}{\partial x^2} = i\hbar \frac{\partial \Psi}{\partial t}$$

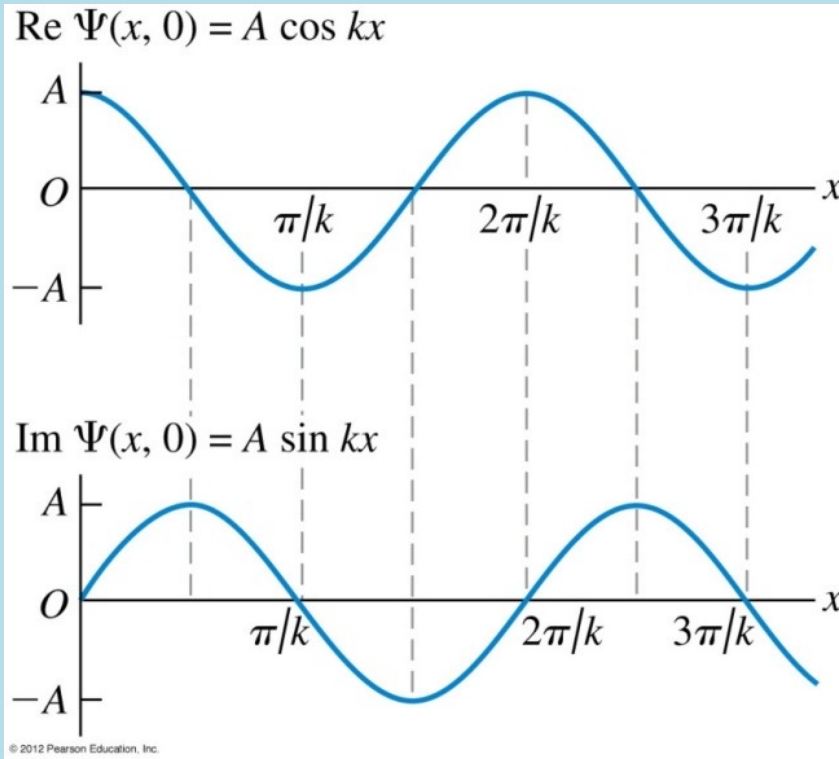
Schrodinger Wave Equation



自由電子波複數的波函數：

$$\Psi = Ae^{i(kx - \omega t)} = A[\cos(kx - \omega t) + i \sin(kx - \omega t)]$$

$$\frac{\hbar^2}{2m} k^2 = \hbar\omega$$



滿足此Schrodinger Wave Equation

$$-\frac{\hbar^2}{2m} \frac{\partial^2 \Psi}{\partial x^2} = i\hbar \frac{\partial \Psi}{\partial t}$$

$$-\frac{\hbar^2}{2m} \frac{\partial^2 \Psi}{\partial x^2} = i\hbar \frac{\partial \Psi}{\partial t}$$

方程式的實數部



方程式的虛數部

$$-\frac{\hbar^2}{2m} \frac{\partial^2 \text{Re}\Psi}{\partial x^2} = -\hbar \frac{\partial \text{Im}\Psi}{\partial t}$$

$$-\frac{\hbar^2}{2m} \frac{\partial^2 \text{Im}\Psi}{\partial x^2} = \hbar \frac{\partial \text{Re}\Psi}{\partial t}$$

現在解的實數部與虛數部是糾纏在一起的！

解的實數部與虛數部不是彼此獨立的！

所以我已經不能要求這個電子波函數是實數了！

假戲真作！弄假成真。

電子波函數真的是複數！它的實數部與虛數部都有意義，且糾纏在一起。





我們又已經知道： $\omega$ 翻譯為 $E$ ， $k$ 翻譯為 $p$ 。

因此，終極翻譯表，直接由粒子圖像翻譯為波函數的運算！

$$\frac{\partial}{\partial x} \leftrightarrow ik$$

$$\frac{\partial}{\partial t} \leftrightarrow -i\omega$$

$$p = \hbar k$$

$$E = \hbar\omega$$

$$-i\hbar \frac{\partial}{\partial x} \leftrightarrow p$$

$$i\hbar \frac{\partial}{\partial t} \leftrightarrow E$$

動量翻譯為空間微分運算。  
 能量翻譯為時間微分運算。

$$\frac{p^2}{2m} = E$$



$$-\frac{\hbar^2}{2m} \frac{\partial^2}{\partial x^2} = i\hbar \frac{\partial}{\partial t}$$



$$-\frac{\hbar^2}{2m} \frac{\partial^2 \Psi}{\partial x^2} = i\hbar \frac{\partial \Psi}{\partial t}$$

運算得運算於某個東西之上。  
 這東西自然是波函數 $\Psi$ 。

Schrodinger Wave Equation

粒子



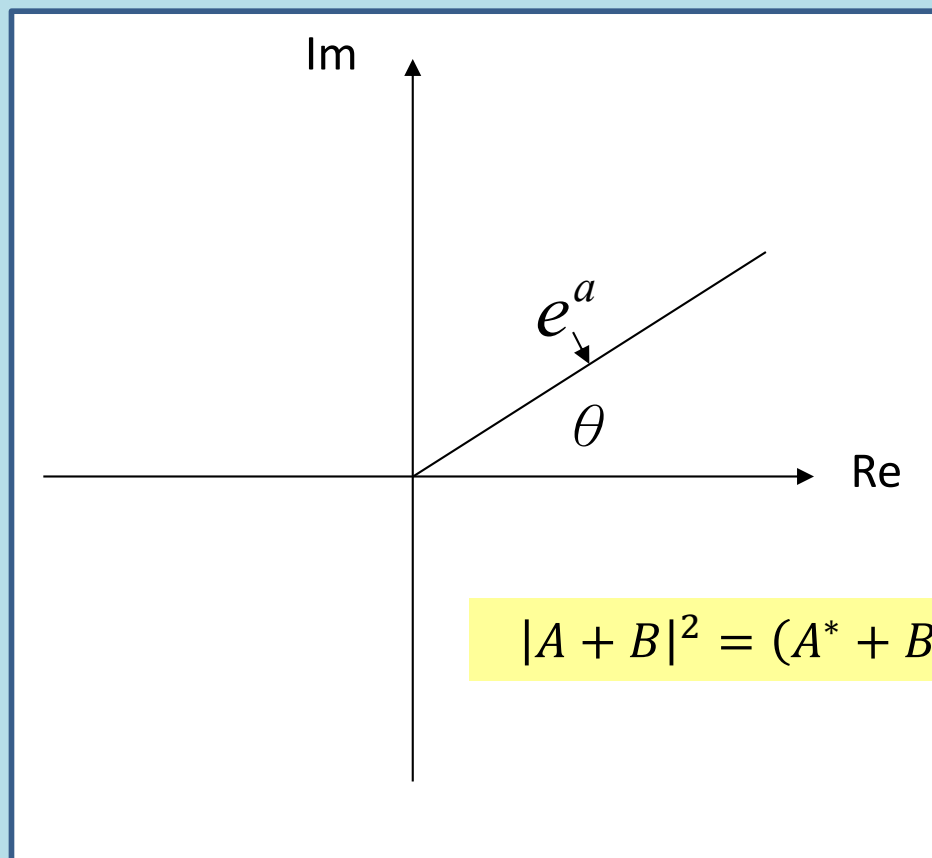
波動

我們可以更進一步定義複數  $\alpha = a + i\theta$  的指數函數：

$$e^\alpha = e^{a+i\theta} = e^a e^{i\theta} = e^a (\cos \theta + i \sin \theta)$$

$$e^{i\theta} = \cos \theta + i \sin \theta$$

在複數平面上表示， $a$  決定絕對值， $\theta$  決定幅角



$$|e^{i\theta}| = 1$$

$$|e^{a+i\theta}| = e^a$$

$$|mn| = |m| \cdot |n|$$

$$|A + B|^2 = (A^* + B^*)(A + B) = |A|^2 + |B|^2 + A^*B + B^*A$$

$$\frac{d^n}{dx^n} e^{\alpha x} = (\alpha)^n \cdot e^{\alpha x}$$

所以，複數的指數函數，所有的微分都與自己成正比！

## 波函數的機率解釋

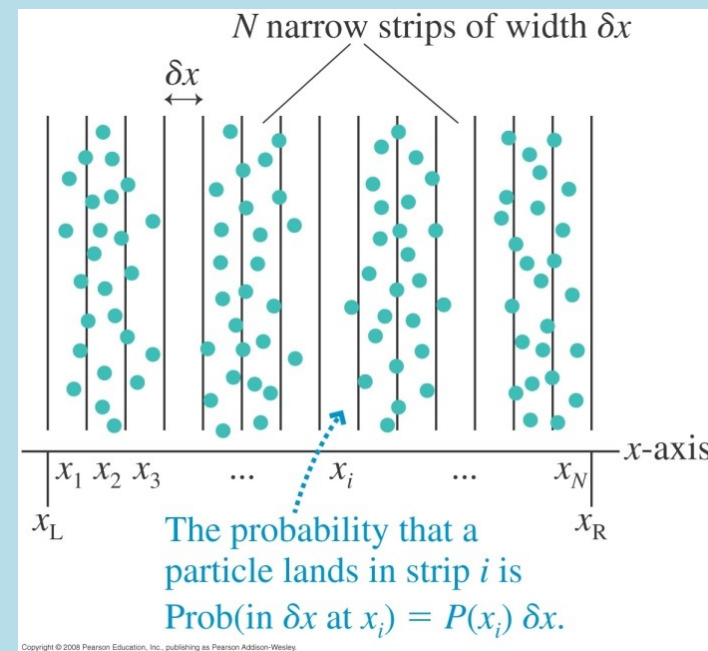
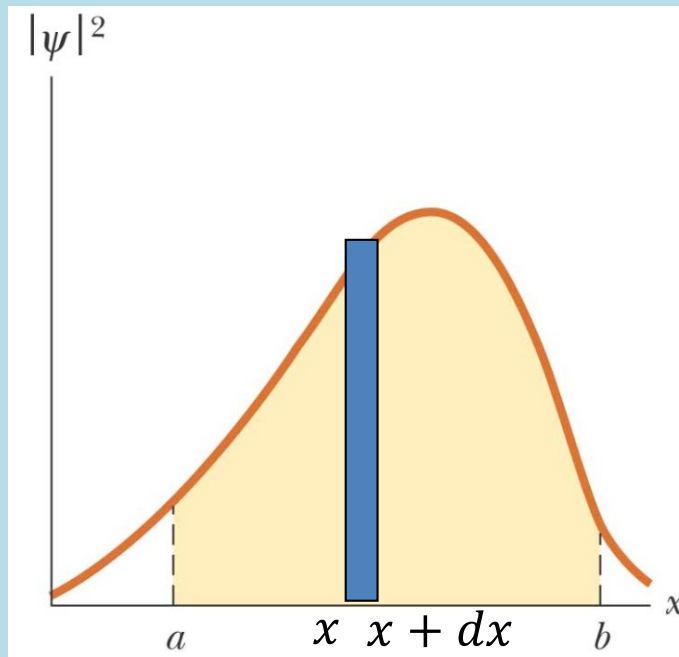
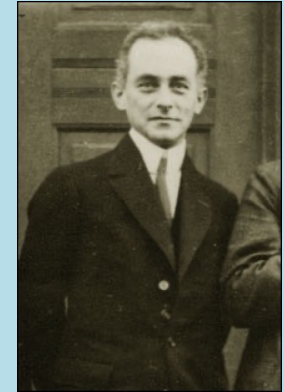
$x$ 是連續變數，所以機率大小是以機率密度表示！

時間為 $t$ 的瞬間在 $x$ 與 $x + dx$ 之間發現該粒子的機率，可以寫成：

(意思就是位置在 $x$ 附近，不準度大約是 $dx$ )

$$P(x, t) \cdot dx = |\Psi(x, t)|^2 \cdot dx = \Psi^*(x, t) \cdot \Psi(x, t) \cdot dx$$

此瞬間 $t$ 的波函數絕對值平方 $|\Psi(x, t)|^2$ 就是此瞬間的機率密度 $P(x)$ 。

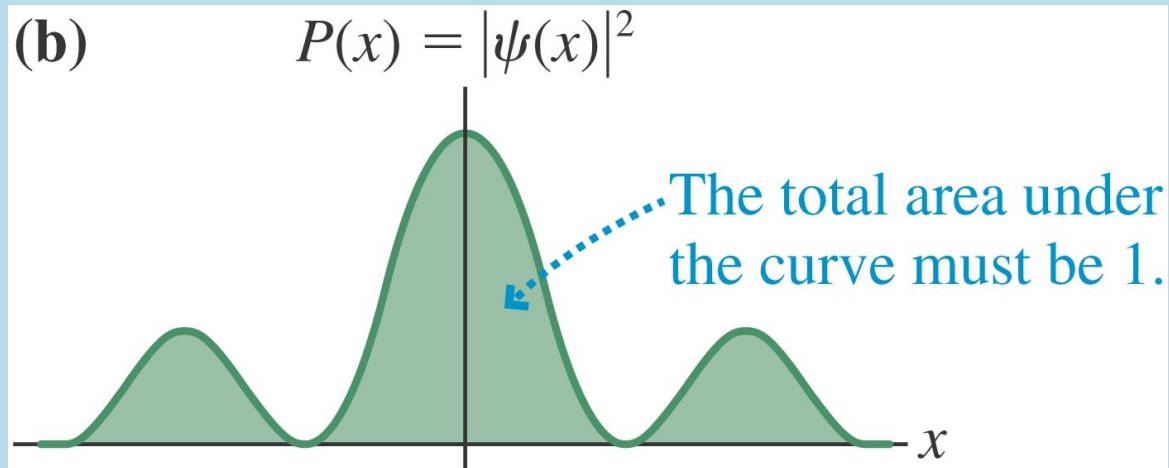


$$\int_a^b |\Psi(x, t)|^2 \cdot dx$$

將機率密度積分，得到瞬間在 $a$ 與 $b$ 之間發現該粒子的機率。

有時會以點的數目來表示機率大小！

發現該粒子的總機率必需等於 1。



$$\int_{-\infty}^{\infty} |\Psi(x, t)|^2 \cdot dx = 1$$

機率密度的總積分必需等於 1。

### 歸一化條件 Normalization Condition

這個是電子波函數在薛丁格方程式以外必須滿足的額外的條件。

光子或會衰變生成的粒子就不滿足此條件。

但總機率是不是會隨時間變化？

假設某時間時，瞬間波函數可以寫成：

$$Ae^{-\mu|x|}$$

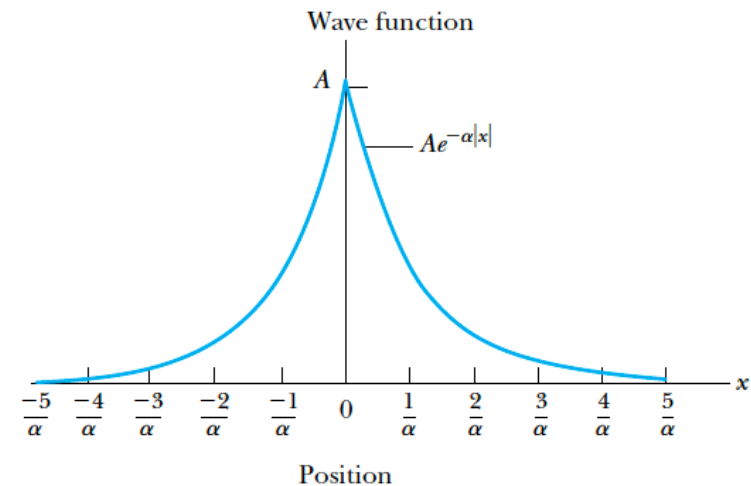
考慮其歸一化條件，並計算機率密度。

Consider a wave packet formed by using the wave function  $Ae^{-\alpha|x|}$ , where  $A$  is a constant to be determined by normalization. Normalize this wave function and find the probabilities of the particle being between 0 and  $1/\alpha$ , and between  $1/\alpha$  and  $2/\alpha$ .

**Strategy** This wave function is sketched in Figure 6.1. We will use Equation (6.8) to normalize  $\Psi$ . Then we will find the probability by using the limits in the integration of Equation (6.7).

**Solution** If we insert the wave function into Equation (6.8), we have

$$\int_{-\infty}^{\infty} A^2 e^{-2\alpha|x|} dx = 1$$



**Figure 6.1** The wave function  $Ae^{-\alpha|x|}$  is plotted as a function of  $x$ . Note that the wave function is symmetric about  $x = 0$ .

Consider a wave packet formed by using the wave function  $Ae^{-\alpha|x|}$ , where  $A$  is a constant to be determined by normalization. Normalize this wave function and find the probabilities of the particle being between 0 and  $1/\alpha$ , and between  $1/\alpha$  and  $2/\alpha$ .

**Strategy** This wave function is sketched in Figure 6.1. We will use Equation (6.8) to normalize  $\Psi$ . Then we will find the probability by using the limits in the integration of Equation (6.7).

**Solution** If we insert the wave function into Equation (6.8), we have

$$\int_{-\infty}^{\infty} A^2 e^{-2\alpha|x|} dx = 1$$

Because the wave function is symmetric about  $x = 0$ , we can integrate from 0 to  $\infty$ , multiply by 2, and drop the absolute value signs on  $|x|$ .

$$2 \int_0^{\infty} A^2 e^{-2\alpha x} dx = 1 = \frac{2A^2}{-2\alpha} e^{-2\alpha x} \Big|_0^{\infty}$$

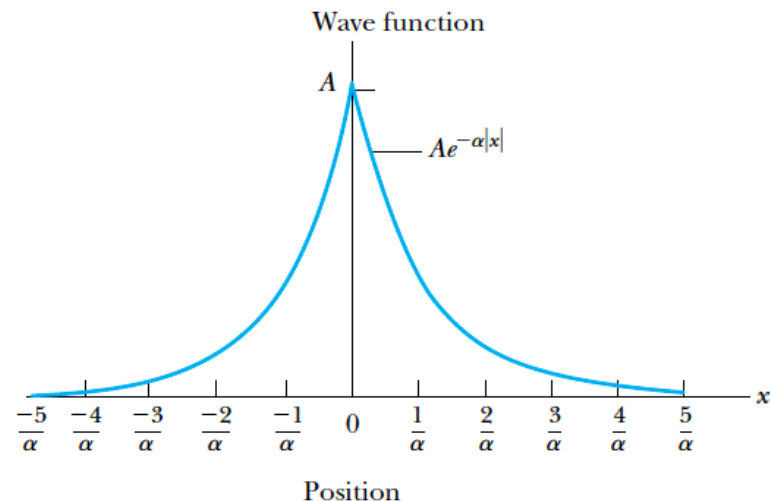
$$1 = \frac{-A^2}{\alpha} (0 - 1) = \frac{A^2}{\alpha}$$

The coefficient  $A = \sqrt{\alpha}$ , and the normalized wave function  $\Psi$  is

$$\Psi = \sqrt{\alpha} e^{-\alpha|x|}$$

We use Equation (6.7) to find the probability of the particle being between 0 and  $1/\alpha$ , where we again drop the absolute signs on  $|x|$  because  $x$  is positive.

$$P = \int_0^{1/\alpha} \alpha e^{-2\alpha x} dx$$



**Figure 6.1** The wave function  $Ae^{-\alpha|x|}$  is plotted as a function of  $x$ . Note that the wave function is symmetric about  $x = 0$ .

The integration is similar to the previous one.

$$P = \frac{\alpha}{-2\alpha} e^{-2\alpha x} \Big|_0^{1/\alpha} = -\frac{1}{2} (e^{-2} - 1) \approx 0.432$$

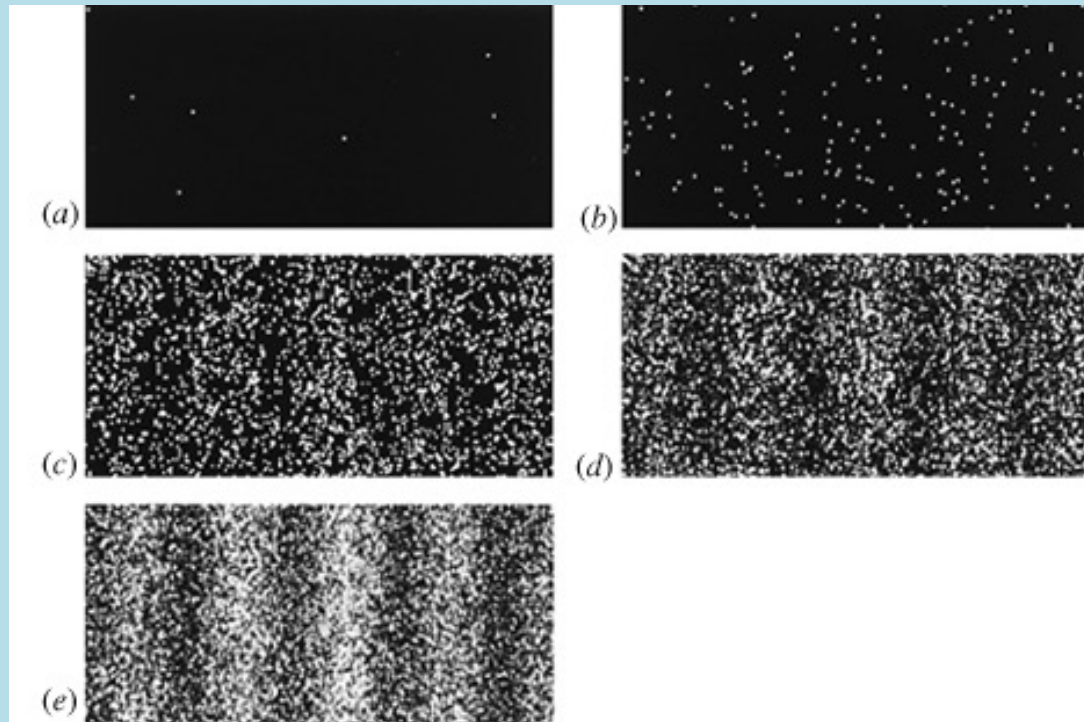
The probability of the particle being between  $1/\alpha$  and  $2/\alpha$  is

$$P = \int_{1/\alpha}^{2/\alpha} \alpha e^{-2\alpha x} dx$$

$$P = \frac{\alpha}{-2\alpha} e^{-2\alpha x} \Big|_{1/\alpha}^{2/\alpha} = -\frac{1}{2} (e^{-4} - e^{-2}) \approx 0.059$$

We conclude that the particle is much more likely to be between 0 and  $1/\alpha$  than between  $1/\alpha$  and  $2/\alpha$ . This is to be expected, given the shape of the wave function shown in Figure 6.1.

自由電子波波函數及其機率解釋能計算雙狹縫干涉的粒子分佈嗎？



$$\Psi = \Psi_1 + \Psi_2 = Ae^{i(kx_1 - \omega t)} + Ae^{i(kx_2 - \omega t)}$$

$x_1, x_2$  是狹縫1,2距觀測點的距離！

觀測點的機率密度：

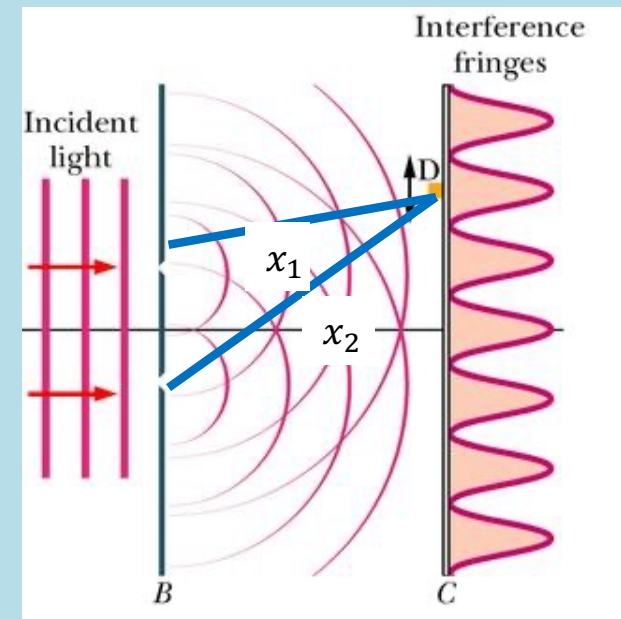
$$|\Psi_1 + \Psi_2|^2 = (\Psi_1^* + \Psi_2^*)(\Psi_1 + \Psi_2) = |\Psi_1|^2 + |\Psi_2|^2 + \Psi_2^*\Psi_1 + \Psi_1^*\Psi_2$$

$$= P_1 + P_2 + 2\text{Re } \Psi_1^*\Psi_2 = 2|A|^2 + 2\text{Re } \Psi_1^*\Psi_2 \quad 2-16$$

$\text{Re } \Psi_1^*\Psi_2$  就是干涉的結果！

$$\text{Re } \Psi_1^*\Psi_2 = \text{Re} [A^*e^{-i(kx_1 - \omega t)} \cdot Ae^{i(kx_2 - \omega t)}] = |A|^2 \text{Re} [e^{-ik(x_1 - x_2)}] = |A|^2 \cos k(x_1 - x_2)$$

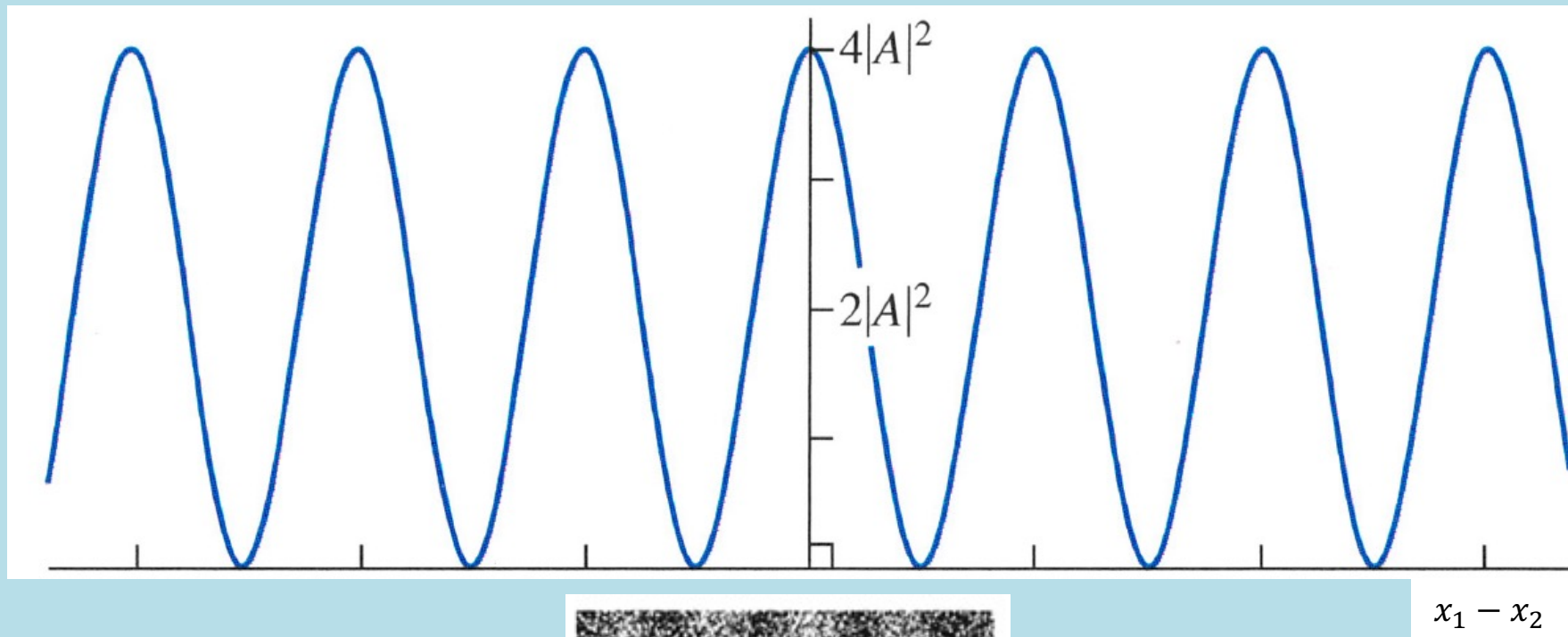
$$|\Psi_1 + \Psi_2|^2 = 2|A|^2[1 + \cos k(x_1 - x_2)]$$





$$|\Psi_1 + \Psi_2|^2 = 2|A|^2[1 + \cos k(x_1 - x_2)] = 4|A|^2 \left( \cos \frac{k(x_1 - x_2)}{2} \right)^2$$

與一般雙狹縫干涉完全一致！



$$|\Psi_1 + \Psi_2|^2 = 2|A|^2[1 + \cos k(x_1 - x_2)] = 4|A|^2 \left( \cos \frac{k(x_1 - x_2)}{2} \right)^2$$

與一般雙狹縫干涉完全一致！

